

Kovač P.

ORIGINALNI NAUČNI RAD

ZAVISNOST IZMEDJU HRAPAVOSTI OBRADJENE  
POVRŠINE, REŽIMA REZANJA I HABANJA ALATA

RELATIONSHIP BETWEEN SURFACE ROUGHNESS,  
CUTTING CONDITIONS AND TOOL WEAR

**Summary**

*Based on previous investigation it can be conclude that most important parameters of cutting process like cutting forces, cutting temperature and surface roughness depend of tool wear. In the mathematical model width of flank wear is put as parameter easiest for measuring.*

*Mathematical model for surface roughness parameters is found in linear and exponential form. Linear form is suitable for process control and exponential is similar as mathematical models of the other cutting process parameters.*

*Investigations show that surface roughness is a function of cutting conditions and time. Tool wear is function of cutting conditions and time too. If the time from this equation is expressed and put in previous equation it become relationship: surface roughness as a function of cutting conditions and chosen parameter of tool wear.*

*The factorial design of experiments for determination of the mathematical model is applicated. In order to determine this model experimental research of face milling process with single tooth cutter is performed. The surface roughness value is measured with Pertho-meter from the replicates of machined surface. The experiment was carried out for different cutting conditions which were chosen according to the planing of experiment. Time flow of surface roughness parameter and tool wear parameter until tool was worn is obtained.*

*Processing of experimental data were on computer and consist regression and dispersion analysis and confidence interval. Determined model is adequate and parameters are significant.*

---

Kovač dr Pavel, docent, Fakultet tehničkih nauka, Institut za proizvodno mašinstvo, 21000 Novi Sad, V. Vlahovića 3.

### Rezime

Na osnovu prethodnih istraživanja može se zaključiti da najvažniji parametri procesa rezanja kao što su otpori rezanja, temperatura rezanja i hrapavost obradjene površine zavise od habanja alata. U matematičke modele se predlaže širina pojasa habanja kao parametar koji se najlakše meri.

Odredjen je matematički model za hrapavost obradjene površine u linearном i eksponencijalnom obliku. Linearni oblik je pogodan za upravljanje procesom a eksponencijalni više odgovara dosadašnjim modelima parametara procesa obrade metala rezanjem.

Istraživanja pokazuju da je hrapavost obradjene površine funkcija režima rezanja i vremena. Habanje alata je takođe funkcija režima rezanja i vremena. Ako se iz ove jednačine izradi vreme i zameni u prethodnu jednačinu dobija se zavisnost: hrapavosti obradjene površine od režima rezanja i izabranog parametra habanja alata.

Za nalaženje ovog matematičkog modela primenjena je metodologija višefaktornog plana eksperimenta.

Eksperimentalna istraživanja su vršena pri čeonom glodanju sa jednozubim alatom. Parametri hrapavosti obradjene površine mereni su pomoću Perthometra sa otisaka obradjene površine. Eksperiment je izveden za različite režime rezanja, koji su izabrani na osnovu plana eksperimenta. Odredjen je vremenski tok parametara hrapavosti i parametara habanja alata sve do zatupljenja.

Obrada podataka je vršena pomoću računara i obuhvata regresionu i disperzionu analizu i interval poverenja. Odredjeni matematički model je adekvatan i parametri su signifikantni.

### 1. UVOD

Kvalitet obradjene površine ima primarni značaj na eksploatacijske karakteristike obrade. Hrapavost obradjene površine karakterišu veliki broj parametara kao što su geometrijski i kinematski parametri, deformacija strugotine, dinamički sistem (MAPO), pohabanost alata itd.

Modelska istraživanja hrapavosti obradjene površine prema pristupu mogu se podeliti u tri grupe:

1. Geometrijski modeli
2. Modeli na bazi habanja alata i drugih pratećih uticaja
3. Modeli koji baziraju na teoriji višefaktornog plana eksperimenta.

Najranije su se pojavili teorijski modeli hrapavosti obradjene površine zasnovni na geometrijskom obliku vrha alata i kinematici njegovog kretanja.

Pri tome je posmatran oštar alat bez ili sa poluprečnikom zaobljenja vrha.

Razvojem eksperimentalnih metoda istraživanja ustanovljena je razlika izmedju teorijskih i izmerenih vrednosti hrapavosti pa su se modeli usložnjavali dodavanjem drugih parametara kao što su uglovi reznog alata, dubina rezanja, ostatak preseka strugotine itd.

Prilikom eksperimentalnih istraživanja uočen je značajn uticaj habanja alata na hrapavost obradjene površine, pa su postavljeni modeli, koji su uzimali u obzir i ovaj uticaj. Najrealniji modeli pomoću kojih se izračunava hrapavost obradjene površine uvode kao parametar širinu žljebova koncentrisanog habanja na pomoćnoj ledjnoj površini. Ovakav model pri obradi na strugu je predložio Prof. Šolaja /7/, kasnije je ovaj model dopunjavan i proširen na druge vrste obrade /4,6/.

Daljim razvojem eksperimentalnih metoda i metoda statističke obrade podataka, naročito višefaktornog plana eksperimenta, razvijeni su modeli koji se zasnivaju na kibernetском prilazu (princip crne kutije) /8,9/. Oni najjednostavniji sadrže pomak i poluprečnik zaobljenja vrha alata, slično geometrijskom modelu, a najsloženiji dubinu i brzinu rezanja tid. Zajednička karakteristika svih ovih modela je da ne uzimaju u obzir habanja alata. Vremenska promena hrapavosti obradjene površine obuhvaćena je modelom koji sadrži vreme rezanja /3/. Ovakav model važi za relativno uzan dijapazon vremena.

U ovom radu predlaže se model zasnovan na kibernetском principu i na jednofaktornom eksperimentu. Ovim se želi iskoristiti relativno mali broj eksperimentalnih tačaka koji je potreban za metodologiju višefaktornog eksperimenta i pouzdanost podataka dobijenih jednofaktornim eksperimentom.

## 2. MATEMATIČKI MODEL HRAPAVOSTI OBRADJENE POVRŠINE

Na osnovu ranijih istraživanja /4/ može se zaključiti da najznačajniji parametri procesa obrade, kao što su otpori rezanja i temperature pri rezanju, zavise od parametara habanja alata. U matematički model uvedena je širina pojasa habanja na ledjnoj površini kao najznačajniji parametar, a koji se i najlakše meri. Iz gore navedenih razloga se predlaže da se u matematičke modele parametara procesa (sile, temperature) takođe unese širina pojasa habanja VB.

Matematički model za parametre hrapavosti obradjene površine u funkciji od habanja alata potražen je u obliku linearne i eksponencijalne zavisnosti:

$$R_i = a_{1i} + b_{1i} \cdot VB \quad (1)$$

$$R_i = a_{2i} \cdot VB^{b_{2i}} \quad (2)$$

Linearna zavisnost je pogodnija za upravljanje procesom a eksponentijalni oblik više odgovara dosadašnjim modelima koji se koriste u procesima obrade rezanjem.

Za određivanje konstanti u predloženim matematičkim modelima korišćena je metoda najmanjih kvadratnih odstupanja u /1/ odredjene su zavisnosti (1) i (2). Na osnovu ispitivanja /2/ može se zaključiti da hrapavost obradjene površine zavisi od elemenata režima i vremena rezanja:

$$R_i = f_1(v, s_z, \delta, t) \quad (3)$$

Uslovna veličina habanja pri obradi je takođe funkcija režima i vremena rezanja:

$$H_i = f_2(v, s_z, \delta, t) \quad (4)$$

Ako se iz jednačine (3) izrazi vreme rezanja i zameni u jednačinu (4) dobiće se zavisnost parametara hrapavosti obradjene površine od režima rezanja i izabranog parametra habanja:

$$R_i = f_s(v, s_z, \delta, H_i) \quad (5)$$

Izabrani parametar habanja je srednja vrednost širine pojasa habanja na ledjnoj površini VB, koji se najčešće uzima kao kriterijum zatupljenja. Funkcionalna zavisnost između parametara hrapavosti potražiće se u obliku:

$$R_i = C_i v^{x_i} s_z^{y_i} \delta^{z_i} VB^{u_i} \quad (6)$$

Za nalaženje ove zavisnosti koristiće se metodologija višefaktornog plana eksperimenta sa pet nivoa (tzv. centralni kompozicioni plan) /2/ kojim se određuje površina odziva u svakoj ravni sa pet tačaka.

### 3. USLOVI PRI EKSPERIMENTALNOM ISPITIVANJU

#### 3.1. Materijal obradka

Eksperimentalna ispitivanja su vršena na čeliku za poboljšanje Č.1730. Isporučen je u obliku šipke Ø130x4000 mm. Šipka je isećena na manje komade dužine 700 mm, čime je obezbedjeno da materijal bude ujednačenog kvaliteta. Za ispitivanja, komadi materijala obradivani su na dimenzije 100x130x700 mm, da bi se obezbedila konstantna širina glodanja.

Na osnovu metalografske analize utvrđeno je da je materijal isporučen u normalizovanom stanju. Sprovedena hemijska analiza pokazala je da je hemijski sastav osnovnih elemenata u granicama, standardom predviđenim, za ovaj čelik. Tvrdoća materijala HB=226, a zatezna čvrstoća  $800-10^6$  Pa.

#### 3.2. Mašina i alat

Ispitivanja su izvršena na vertikalnoj glodalici "PRVOMAJSKA" FSS-GVK-3, koja ima: snagu pogonskog elektromotora 14 KW, snagu pomoćnog elektromotora 2,2 KW, raspon brojeva obrtaja od 28 do 1400 o/min (18 stupnjeva), raspon brzine pomožnog kretanja od 16 do 800 mm/min (18 stupnjeva), maksimalni prečnik glodala 315 mm.

Pri ispitivanju korišćena je glava za glodanje "JUGOALAT" G.715 Ø125 mm, sa mehanički pričvršćenim pločicama od tvrdog metala. Broj zuba 8, napadni ugao  $75^\circ$ , grudni ugao  $7^\circ$ , ledjni ugao  $18^\circ$ .

Kao rezni materijal alata korišćene su kvadratne okretne pločice od tvrdog metala "Prvi partizan". Oznaka pločice SPAN 12 03 ER, kvaliteta P25.

Rezanje je vršeno pri srednjem položaju glodala u odnosu na alat i bez upotrebe sredstava za podmazivanje i hladjenje.

#### 3.3. Režim obrade

Režim obrade je obuhvatio sledeće elemente:

- brzinu rezanja  $v$  (m/s), odnosno odgovarajući broj obrtaja na mašini  $n$  (o/min),
- pomak po zubu  $s_z$  (mm/z), odnosno odgovarajuća brzina kretanja stola mašine  $s$  (mm/min),
- dubina rezanja  $\delta$  (mm).

Varirani režimi rezanja su prikazani u tabeli 1.

### 3.4. Merenje habanja alata

U cilju utvrdjivanja karaktera kao i veličine parametara habanja alata u funkciji vremena rezanja, vršeno je praćenje habanja po grudnoj i ledjnoj površini.

Na ledjnoj površini alata praćena je srednja vrednost širine pojasa habanja na fazetama  $VB_g$  i  $VB_s$ .

Da bi fazete pri merenju bile u horizontalnom položaju, napravljen je pribor koji je uvek obezbedjivao isti položaj pojedine fazete, pri merenju habanja na alatnom mikroskopu.

Na grudnoj površini merena je širina kratera KB, tako što je pločica pri merenju ležala na stolu alatnog mikroskopa "Zeiss".

Merenje dubine kratera KT vršeno je na Šmalc-ovom mikroskopu, koji prvenstveno služi za merenje hrapavosti. Uz odgovarajuće uvećanje moguće je i merenje dubine kratera. Pločica je postavljena u naročiti pribor od pleksiglasa, koji je obezbedjivao uvek isti položaj.

### 3.5. Merenje hrapavosti obradjene površine

Merenje hrapavosti vršeno je na digitalnom perthometru S5P u RO "IDA" LŽTK Kikinda.

Mereni su sledeći parametri hrapavosti:

$R_a$  - srednja aritmetička hrapavost

$R_s$  - srednja geometrijska hrapavost

$R_t$  - maksimalna hrapavost. Rastojanje izmedju najvišeg brega i najdublje doline na putu merenja

$R_z$  - srednja aritmetička hrapavost u deset tačaka.

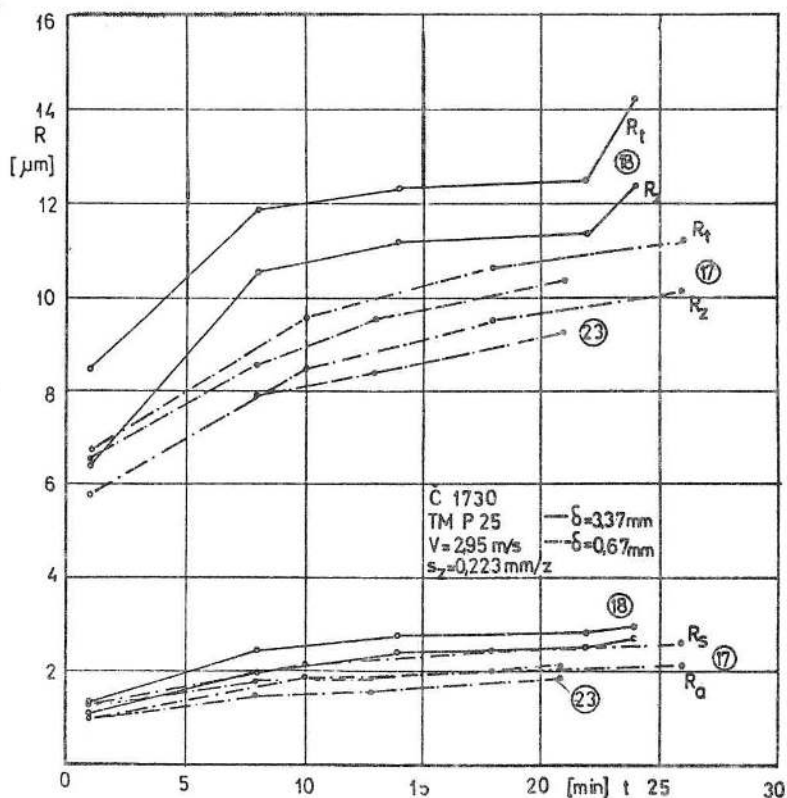
Obradak je bio velikih dimenzija i stegnut na mašini, tako da su u toku rezanja povremeno uzimani otisci obradjene površine pomoću plastične mase za uzimanje otiska površine. To je bila plastična masa tipa "Technovit" 3040, crne boje. Proizvodjač je "Kulzer" - SR Nemačka. To je, u stvari, dvokomponentni polimer - plastična masa koja se pre upotrebe pomeša u odgovarajućem odnosu. Posle mešanja dobija se tečna masa koja se posle nanošenja brzo stvrdne i onda se može skinuti mehanički.

Pri merenju otisak se postavlja na sto Perthometra u plastelin i izravna u horizontalni položaj.

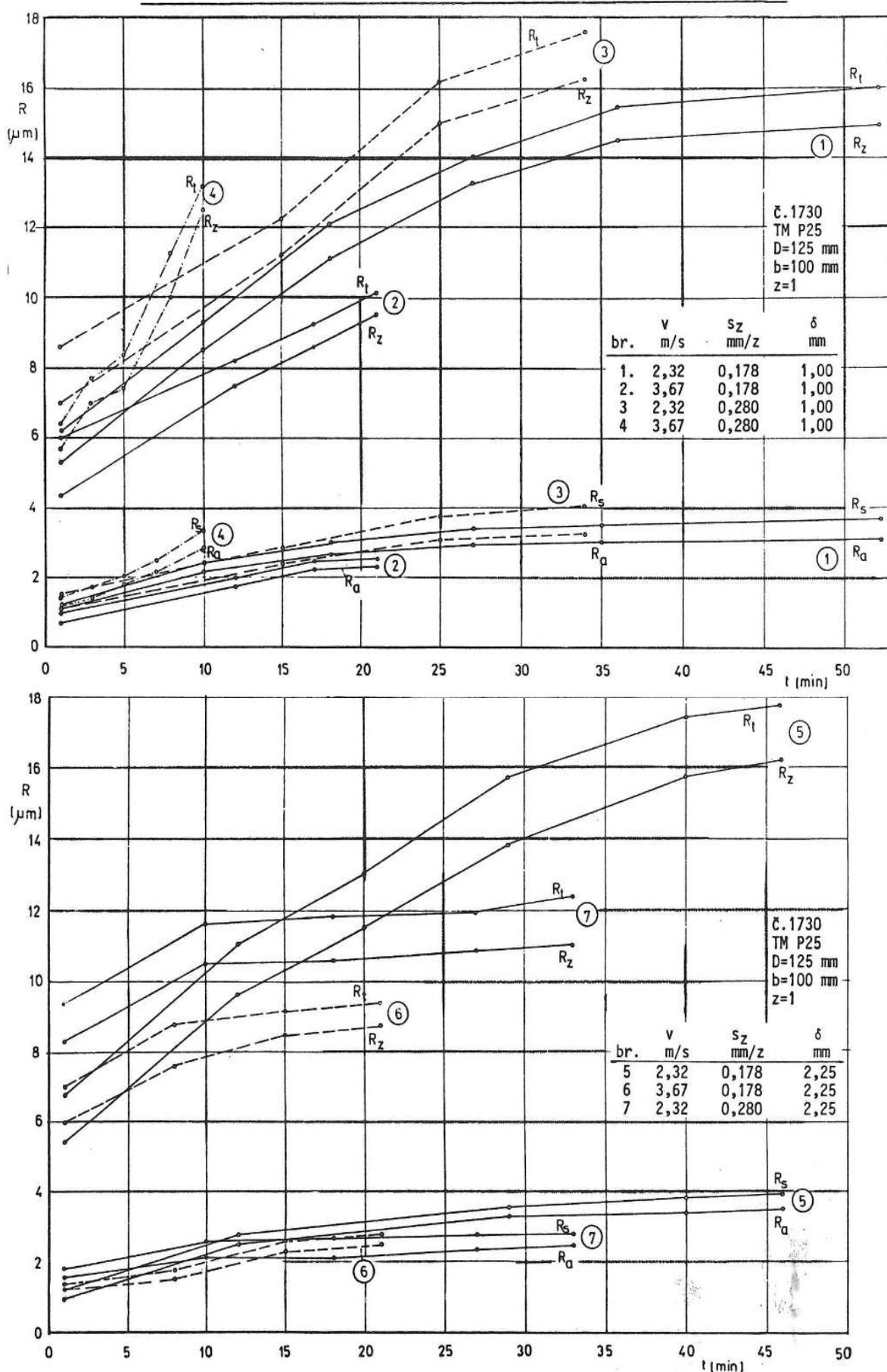
#### 4. REZULTATI MERENJA I NJIHOVA OBRADA

Da bi se odredile konstante u matematičkom modelu potražene su promene u vremenu parametara hrapavosti obradjene površine do zatupljenja slata, kao i promene parametara habanja alata u vremenu rezanja. Ove promene praćene su za različite režime rezanja prema planu eksperimenta (tabela 1). Na osnovu odgovarajuće zavisnosti i vrednosti širine pjasma habanja na ledjnoj površini VB, prema planu eksperimenta, odredjene su merene vrednosti parametara hrapavosti u tabeli 1. Na slici 1,2 i 3 su prikazane promene parametara hrapavosti obradjene površine a na slici 4. je prikazana promena parametara habanja alata na grudnoj i ledjnoj površini u vremenu rezanja za izabrane režime rezanja.

Obrada podataka prikazanih u tabeli 1. izvršena je pomoću elektronskog računara na interaktivnom principu /3/ i obuhvata regresionu i disperzionu analizu kao i ocenu tačnosti matematičkog modela. Konstante i eksponenti prema jednačini (9) prikazani su u tabeli 2.

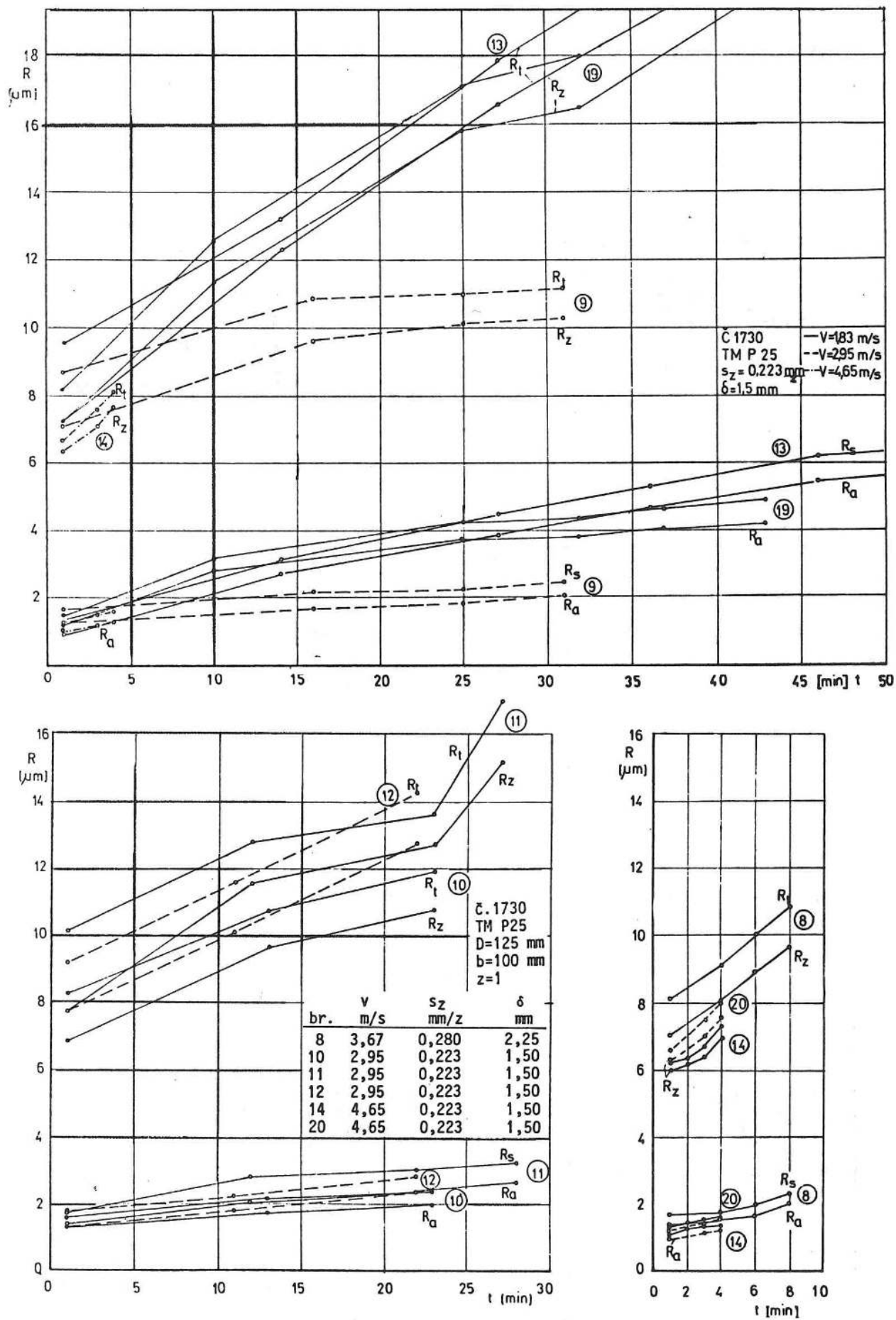


Slika 1. Parametri hrapavosti obradjeni površine u vremenu rezanja  
Fig. 1. Surface roughness parameters in the time of cutting

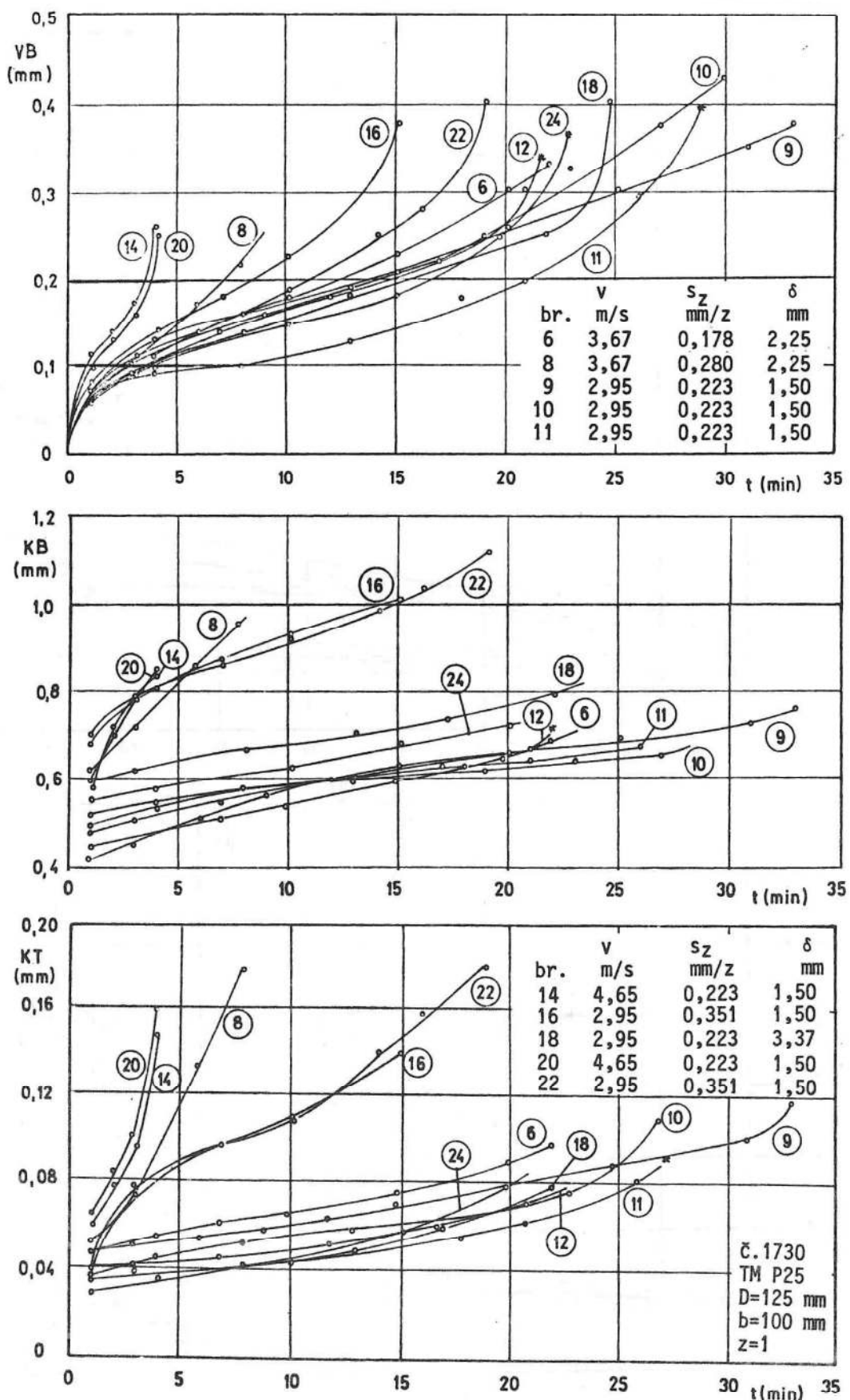


Slika 2. Parametri hraptavosti obradjene površine u vremenu rezanja  
Fig 2. Surface roughness parameters in the time of cutting

Zavisnost izmedju hrapavosti obradjene površine ...



Slika 3. Parametri hrapavosti obradjene površine u vremenu rezanja  
Fig 3. Surface roughness parameters in the time of cutting



Slika 4. Parametri habanja alata u vremenu rezanja  
Fig 4. Tool wear parameters in the time of cutting

Zavisnost izmedju hrapavosti obradjene površine ...

TABELA 1

Redni broj	Kod faktora			Faktor			Merene vrednosti			Računske vrednosti		
	$x_0$	$x_1$	$x_2$	$x_3$	$x_4$	V	$S_{\text{mm}^2/\text{z}}$	$\delta$	$\text{VB}$	$R_a$  μm	$R_s$  μm	$R_t$  μm
1.	-1.	-1.	-1.	-1.	-1.	2,32	0,178	1	0,12	2,0	2,1	7,8
2.	1.	-1.	-1.	-1.	-1.	3,67	0,178	1	0,12	1,45	1,7	5,8
3.	-1.	1.	-1.	-1.	-1.	2,32	0,280	1	0,12	2,0	2,5	9,8
4.	1.	1.	-1.	-1.	-1.	3,67	0,280	1	0,12	1,3	1,6	6,5
5.	1.	-1.	-1.	-1.	-1.	2,32	0,178	2,25	0,12	2,1	2,3	8,3
6.	-1.	1.	-1.	-1.	-1.	3,67	0,178	2,25	0,12	1,4	1,65	5,0
7.	1.	-1.	-1.	-1.	-1.	2,32	0,280	2,25	0,12	2,0	2,3	9,7
8.	-1.	1.	-1.	-1.	-1.	3,67	0,280	2,25	0,12	1,45	1,75	8,0
9.	1.	-1.	-1.	-1.	-1.	2,32	0,178	1	0,28	3,05	3,6	14,7
10.	-1.	1.	-1.	-1.	-1.	3,67	0,178	1	0,28	2,2	2,4	8,5
11.	1.	-1.	-1.	-1.	-1.	2,32	0,280	1	0,28	3,1	4,0	15,5
12.	-1.	1.	-1.	-1.	-1.	3,67	0,280	1	0,28	2,7	3,2	12,5
13.	1.	-1.	-1.	-1.	-1.	2,32	0,178	2,25	0,28	3,5	3,85	16,1
14.	-1.	1.	-1.	-1.	-1.	3,67	0,178	2,25	0,28	2,45	2,8	8,7
15.	1.	-1.	-1.	-1.	-1.	2,32	0,280	2,25	0,28	2,4	2,8	9,0
16.	-1.	1.	-1.	-1.	-1.	3,67	0,280	2,25	0,28	1,75	2,1	9,05
17.	1.	-1.	-1.	-1.	-1.	2,95	0,223	1,5	0,18	1,6	2,0	8,9
18.	-1.	1.	-1.	-1.	-1.	2,95	0,223	1,5	0,18	1,6	2,0	9,1
19.	1.	-1.	-1.	-1.	-1.	2,95	0,223	1,5	0,18	2,2	2,8	12,0
20.	-1.	1.	-1.	-1.	-1.	2,95	0,223	1,5	0,18	1,85	2,3	10,3
21.	1.	-1.	-1.	-1.	-1.	2,95	0,223	1,5	0,18	2,3	2,6	10,5
22.	-1.	1.	-1.	-1.	-1.	2,95	0,223	1,5	0,18	2,7	3,1	10,4
23.	1.	-1.	-1.	-1.	-1.	1,83	0,223	1,5	0,18	3,3	3,7	14,2
24.	-1.	1.	-1.	-1.	-1.	4,65	0,223	1,5	0,18	1,05	1,35	6,7
25.	1.	-1.	-1.	-1.	-1.	2,95	0,142	1,5	0,18	2,1	2,4	9,2
26.	-1.	1.	-1.	-1.	-1.	2,95	0,351	1,5	0,18	2,5	2,9	12,0
27.	1.	-1.	-1.	-1.	-1.	2,95	0,223	0,67	0,18	2,0	2,25	9,0
28.	-1.	1.	-1.	-1.	-1.	2,95	0,223	3,37	0,18	2,2	2,7	11,0
29.	1.	-1.	-1.	-1.	-1.	2,95	0,223	1,5	0,08	1,45	1,85	7,0
30.	-1.	1.	-1.	-1.	-1.	2,95	0,223	1,5	0,40	2,6	3,20	15,1

Tabela 2

$R_a$	Koeficijenti				$R_s$	Koeficijenti				
	Regresije		Signifikantn.			Regresije		Signifikant.		
Oznaka	Vredn.	Oznaka	Vredn.	Oznaka	Vredn.	Oznaka	Vredn.	Oznaka	Vredn.	
Model 1. reda	C	10,9163	$F_{ro}$	348,92	Model prvog reda	C	13,7938	$F_{ro}$	731,25	
	$x_1$	-0,8945	$F_{r1}$	22,51		$x_2$	-0,8165	$F_{r1}$	25,84	
	$y_1$	-0,0462	$F_{r2}$	0,06*		$y_2$	0,0584	$F_{r2}$	0,13*	
	$z_1$	-0,0151	$F_{r3}$	0,02*		$z_2$	-0,0149	$F_{r3}$	0,03*	
	$u_1$	0,4556	$F_{r4}$	19,93		$u_2$	0,4511	$F_{r4}$	26,92*	
	Adekvatnost		$F_{RLF}$	0,42		Adekvatnost		$F_{RLF}$	0,518	
Model prvog reda	Koeficijenti				Model $R_t$	Koeficijenti				
	Regresije		Signifikantn.			Regresije		Signifikant.		
	Oznaka	Vredn.	Oznaka	Vredn.		Oznaka	Vredn.	Oznaka	Vredn.	
	C	74,7578	$F_{ro}$	12982,6		C	61,4491	$F_{ro}$	20666,9	
	$x_3$	-0,7779	$F_{r1}$	64,52		$x_4$	-0,7144	$F_{r1}$	78,06	
	$y_3$	0,2568	$F_{r2}$	6,86		$y_4$	0,1931	$F_{r2}$	5,57*	
Model adekvatnosti	$z_3$	-0,0247	$F_{r3}$	0,20*		$z_4$	0,0232	$F_{r3}$	0,26*	
	$u_3$	0,4849	$F_{r4}$	85,58		$u_4$	0,4058	$F_{r4}$	85,96	
	Adekvatnost		$F_{RLF}$	2,237		Adekvatnost		$F_{RLF}$	0,276	

Uslov signifikantnosti  $F_{ri} F_t = 6,61$ Uslov adekvatnosti  $F_{ad} F_t = 4,47$ 

## 5. ZAKLJUČCI

Na osnovu ranije iznesenog može se zaključiti:

- U radu je predložen matematički model, koji opisuje vremenski karakter procesa rezanja
- Uočava se da parametri hrapavosti drastično rastu u vremenu rezanja zbog habanja alata. Vremenska promena je složena funkcija, slična po karakteru promeni habanja alata. Ova promena zavisi od elemenata režima rezanja
- Da bi se opisao vremenski karakter promena hrapavosti obradjene površine predloženi su matematički modeli (9) u funkciji elemenata režima rezanja ( $v, s_z, \delta$ ) i srednje vrednosti širine pojasa habanja (VB). Svi modeli su adekvatni a brzina i dubina rezanja nisu

## LITERATURA

- /1/ Kovač P.: Zavisnost hrapavosti obradjene površine od habanja alata, Zbornik radova Instituta za proizvodno mašinstvo, br.4., Novi Sad, 1987.
- /2/ Kovač P.: Istraživanje podloga za upravljanje procesom čeonog glodanja. Doktorska disertacija, FTN, Novi Sad, 1987.
- /3/ Kovač P., Sekulić S.: Sistemski prilazi primeni višefaktornog plana eksperimenta na kvalitet obradjene površine pri završnoj obradi na strugu, Zbornik radova ICPR-81, Novi Sad
- /4/ Kovač P., Milikić D.: Opotrebenie rezného klina a drsnost' obrobeného povrchu pri čelnom frézovani. Zbornik prác 3.Sympózium INTERTRIBO'87, Visoké Tatry, 1987.
- /5/ Pavlovski V.: Prilog identifikaciji medjuzavisnosti habanja glodala i kviliteta obradjene površine. Zbornik radova X Savetovanja proizvodnog mašinstva Jugoslavije, knj.III, Beograd, 1975.
- /6/ Šolaja V., Radonjić S., Lukić Lj.: Dva priloga stavu o koncentrisanom habanju reznog alata kao univerzalnom fenomenu. Zbornik radova XX Savetovanja proizvodnog mašinstva, Proizvodne tehnologije, Beograd, 1986.
- /7/ Šolaja V.: Wear of Carbide Tools and Surface Finish Generatet in Finsch Turning of Steel, Wear, Vol.1, 1958.
- /8/ Taraman, K., Lambert B.: A Surface Roughnes Model for Turning Operation, Int.J.Prod.Res., Vol.12, No 6, 1974.
- /9/ Wong W.C.K., Middleton D.: On the Estimation of Parameters for a Nonlinear Model of a Milling proces, Int.J.Prod.Res., Vol.22, No.2, 1984.